

Versuch 234 Lichtquellen

Frauendorfer Andreas

13.06.2022

1 Einleitung

1.1 Modell des schwarzen Strahlers

Ein schwarzer Strahler absorbiert die gesamte auf ihn einfallende Strahlung. Er kann auch wieder die gesamte Strahlung abgeben. Dabei ist die Intensität folgendermaßen verteilt:

$$M(\lambda, T) \quad (1)$$

mit der Strahlungsleistung M pro Flächeneinheit dA im Wellenlängenbereich λ bis $\lambda + d\lambda$

1.2 Wiensches Verschiebungsgesetz

Bei reinen Temperaturstrahlern tritt das Intensitätsmaximum bei kleineren Wellenlängen auf.

$$\lambda_{max} = \frac{2897,8 \mu m \cdot K}{T} \quad (2)$$

So lassen sich Lichtquellen anhand des Lichts charakterisieren, dass sie emittieren. Je höher die Temperatur des Strahlers ist, desto kleiner Wellenlängen werden emittiert. Auch sind ab ca 1000K sichtbare Wellenlängen involviert. So sieht man kein kleineren Temperaturen vermehrt Licht und bei ca 5888K mischen sich alle sichtbaren Farben so, dass die Lichtquelle weiß erscheint. Für höhere Temperaturen erscheint die Lichtquelle dann violetter.

1.3 Streuung

Der Wirkungsquerschnitt bei Sonnenlichtsstreuung ist in der vierten Potenz von der Frequenz abhängig, deshalb wird blaues Licht 16-mal stärker als rotes Licht gestreut und ist deshalb besser am Himmel zu sehen.

Wasserdampf, Sauerstoff und Kohlendioxid streuen das Sonnenlicht sehr stark und sind deshalb die Ursachen für einige der Fraunhofschen Linien.

1.4 Nichttemperaturstrahler

Es können auch Strahler durch Anregung von Elektronen in abstrahlen, statt durch Wärmestrahlung. Diese Strahler wie zum Beispiel Laser oder Leuchtstoffröhren haben ein diskretes Spektrum. Quecksilber, das hauptsächlich im UV-Bereich strahlt, regt hierbei einen fluoreszierenden Stoff an, der im sichtbaren Bereich strahlt.

LED (Light Emitting Diode) funktionieren via Rekombination in einem pn-Übergang. Sie haben einen hohen Wirkungsgrad.

Natrium besitzt ein Außenelektron und kann deshalb für große Radien als Wasserstoff ähnlich angesehen werden.

. Der Grundzustand des Valenzelektrons ist das 3s Orbital. Die bekannteste Linie ist das gelbe Dublett bei 589nm

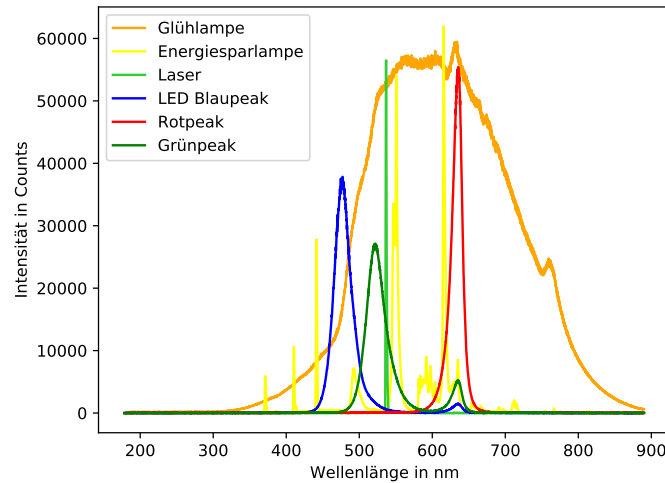
Messprotokoll 234

Unterschrift Tutor: gez von tutor:nikolai bolik

2 Auswertung

2.1 Auswertung der unterschiedlichen Lichtquellen

Zuerst plotten wir die Spektren der verschiedenen Lampen in einem Diagramm und deren Peaks zu vergleichen.



Die unterschiedlichen Lampen, sind gut anhand der unterschiedlichen Peaks zu unterscheiden (siehe Diagramm 1). Die mittlere Wellenlänge jeder Lampe wird aus dem Diagramm abgelesen, wobei es sich bei Quellen mit auf eine Wellenlänge konzentrierten Emissionsspektrum direkt um dieses Wellenlänge handelt.

Die Halogenlampe war leider im Versuchsaufbau nicht vorhanden und wurde deshalb nicht mit betrachtet.

$$\lambda_{Glüh} \approx 610nm \quad (3)$$

$$\lambda_{Energie} \approx 560nm \quad (4)$$

$$\lambda_{Laser} \approx 523nm \quad (5)$$

$$\lambda_{LEDb} \approx 490nm \quad (6)$$

$$\lambda_{LEDr} \approx 625nm \quad (7)$$

$$\lambda_{LEDg} \approx 510nm \quad (8)$$

Auch daran lassen sich die Quellen unterscheiden.

2.2 Auswertung des Sonnenspektrums

Hier tragen wir die Spektren in einem Diagramm ein, die unsere Kamera hinter einer Glasscheibe, ohne Scheibe und direkt in die Sonne aufnimmt.

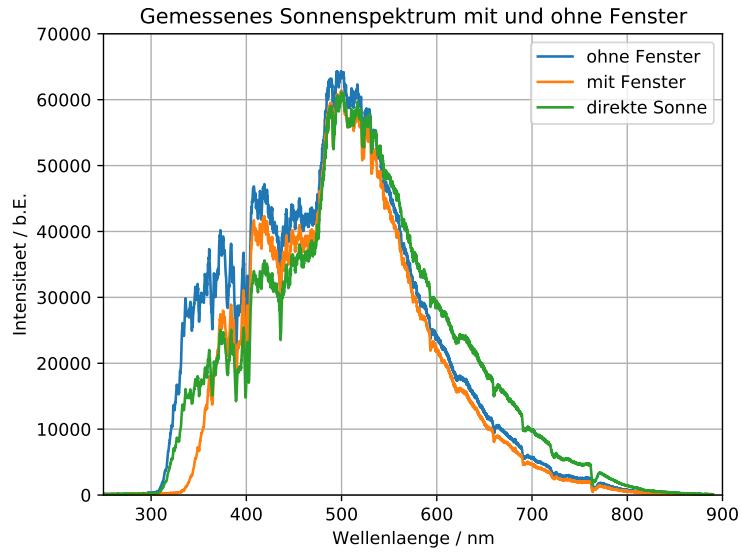


Figure 1: Gemessenes Sonnenspektrum mit und ohne Fenster und in direkte Sonne

Schaut man direkt in die Sonne, bekommt man nochmal mehr kurzwelliges Licht ins Auge, was gefährlich sein kann!

Glas absorbiert stark kurze Wellenlängen, wie man an der Differenz im linken Bereich des Diagramms 2 der blauen und orangen Kurve sieht, damit wir keine Sonnenbrand bekommen. Sichtbares Licht hingegen wird ungehindert durchgelassen.

Hier wird die Absorption des Glases in Abhängigkeit von der Wellenlänge betrachtet. Die Formel zur Berechnung lautet:

$$A_{Glas} = 1 - \frac{I_{mG}(\lambda)}{I_{oG}(\lambda)} \quad (9)$$

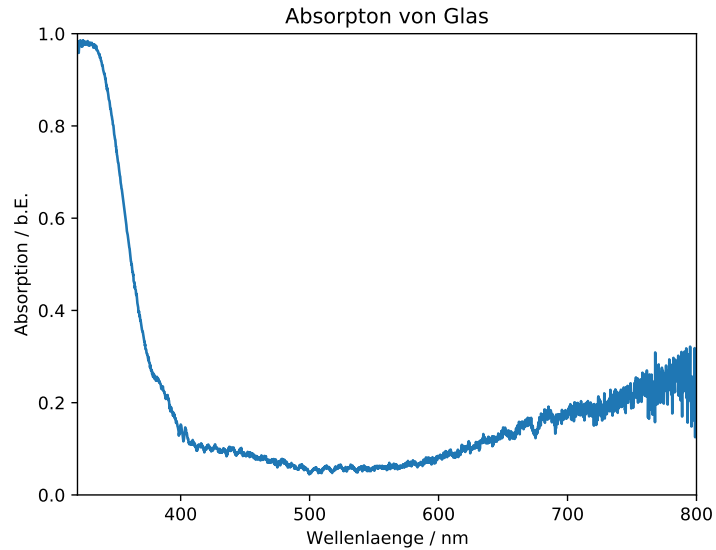


Figure 2: Absorption von Glas

Dabei wird deutlich dass auch ein Anteil der langen Wellenlängen absorbiert wird und sogar nur das Licht im sichtbaren Bereich durchkommt. Da die Absorption hier jedoch schwächer ausfällt, konnten wir das in Diagramm 2 nicht erkennen.

2.3 Fraunhoferlinien

In der Atmosphäre absorbieren die Wasserstoffatom bestimmte Wellenlängen besonders stark. Diese Balmer-Serie Wellenlängen kommen deshalb nicht bei uns in der Kamera an und können aus dem Spektrum der Sonne abgelesen werden. (siehe Diagramm 3)

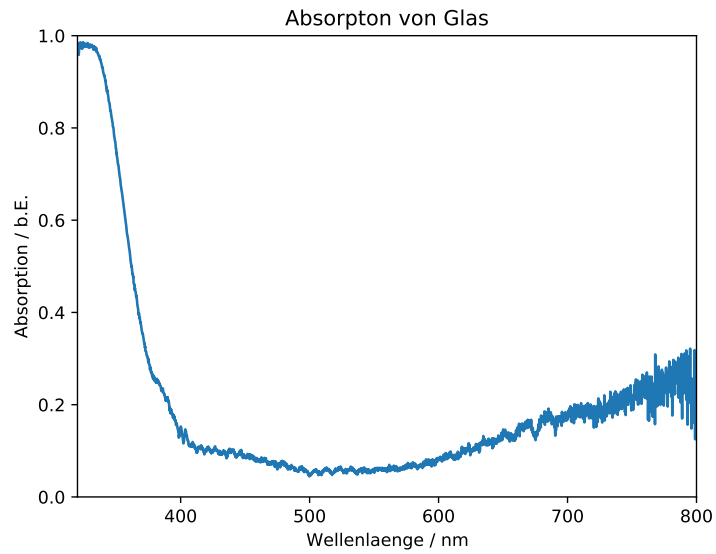


Figure 3: Absorption von Glas

In Diagramm 4 sind die Fraundorfschen Linien als Intensitätsenbrüche zu erkennen. Diese wurden mit der Cursorfunktion bestimmt und in Tabelle 1 mit den Literaturwerten verglichen.

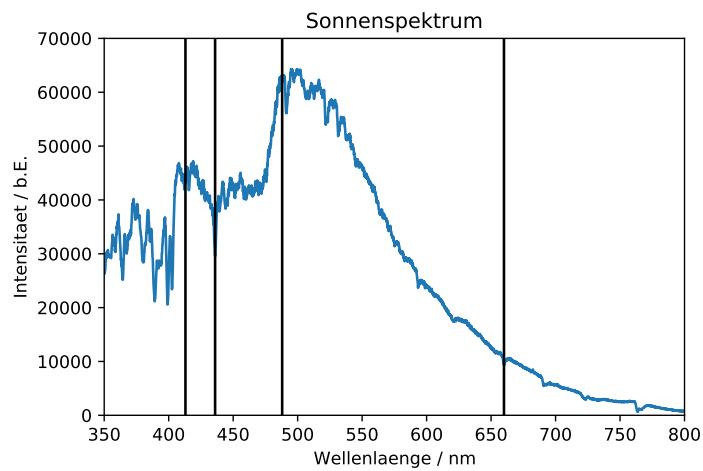


Figure 4: Absorption von Glas

Table 1: Sonnenlichtspektrum: Messung der Fraunhoferlinien und Balmerserie

Bezeichnung	gemessene Wellenlängen [nm]	Literaturwert [nm]	Abweichung
H _δ	413 ± 1	410,1	3,1 σ
H _γ	436 ± 1	431,7	4,3 σ
H _β	488 ± 1	486,1	1,9 σ
H _α	660 ± 1	656,3	3,7 σ

Die Gemessenen Absorptionsspektren sind im Vergleich zu den Literaturwerten systematisch zu hoch. Dies könnte daran liegen, dass andere Effekte der Atmosphäre vernachlässigt wurden.

2.4 Auswertung des Natriumspektrums

Zuordnung der gefunden Linien zu den Natriumserien

Zunächst berechnen wir die zu erwartenden Wellenlängen für die Hauptserie, sowie für die 1. und 2. Nebenserie.

Linien der 1. Nebenserie

Wir nähern zunächst den Korrekturterm des d-Orbitals als 0. Somit gilt für die einzelnen Übergänge und ihre Wellenlängen λ_m :

$$\frac{h_c}{\lambda_m} = \frac{E_{Ry}}{m^2} - E_{3p} \Rightarrow E_{3p} = \frac{E_{Ry}}{m^2} - \frac{h_c}{\lambda_m} \quad (10)$$

mit dem Fehler

$$\Delta E_{3p} = \frac{hc}{\lambda_m^2} \Delta \lambda_m \quad (11)$$

Der gemessenen Linie $\lambda = (820,4 \pm 5,5) \text{ nm}$ ordnen wir den Wert $m = 3$ zu. Daraus erhält man dann

$$E_{3p} = (-3,032 \pm 0,010) \text{ eV} \quad (12)$$

Daraus lassen sich die restlichen theoretischen Werte bestimmen.

Linien der 2. Nebenserie

Für die Energie E_{3s} der Nebenserie gilt

$$E_{3s} = E_{3p} - \frac{hc}{\lambda} \quad (13)$$

mit den zugehörigen Fehler von

$$\Delta E_{3s} = \sqrt{(\Delta E_{3p})^2 + \left(\frac{hc}{\lambda^2} \Delta \lambda\right)^2} \quad (14)$$

Außerdem gilt:

$$E_{3s} = \frac{E_{Ry}}{(3 - \Delta_s)^2} \quad (15)$$

Stellt man die Gleichung (7) und (12) um so erhält man für Δ_s :

$$\Delta_s = 2 - \sqrt{\frac{E_{Ry}}{E_{3s}}} = 1,372 \pm 0,01 \quad (16)$$

mit dem Fehler

$$\Delta(\Delta_s) = \frac{1}{2} \frac{E_{Ry}}{E_{3s}^2 \sqrt{E_{Ry}/E_{3s}}} \quad (17)$$

Nun berechnet man die Wellenlängen der 2. Nebenserie über

$$\lambda_m = \frac{hc}{E_{Ry}/(m - \Delta_s)^2 - E_{3p}} \quad (18)$$

mit dem Fehler

$$\Delta\lambda_m = \sqrt{\left(\frac{hc\Delta E_{3p}}{E_{Ry}/((m - \Delta_s)^2 - E_{3p})}\right)^2 + \left(\frac{2hc\Delta(\Delta_s)(m - \Delta_s)^3}{(E_{Ry}/(m - \Delta_s)^2 - E_{3p})}\right)^2} \quad (19)$$

Linien der Hauptserie

Der Korrekturfaktor Δ_p ergibt sich analog zu Δ_s (13) und $\Delta(\Delta_s)$ (14)

$$\Delta_p = 3 - \sqrt{\frac{E_{Ry}}{E_{3p}}} = 0,879 \pm 0,004 \quad (20)$$

Analog die Wellenlängen:

$$\lambda_m = \frac{hc}{E_{Ry}/(m - \Delta_p)^2 - E_{3s}} \quad (21)$$

In den folgenden Tabellen sind die theoretischen Werte, welche durch die obigen Berechnungen bestimmt wurden, mit den experimentell vorgefundenen Werten verglichen, sowohl für die 1. und 2. Nebenserie, als auch für die Hauptserie. Die experimentellen Werte wurden aus den gemessenen Daten, die in den Diagrammen (5), (6), (7) und (8) dargestellt sind bestimmt. Die Berechnungen wurden mit Python durchgeführt und sind im Anhang vorzufinden.

berechnete Wellenlänge [nm]	gemessene Wellenlängen [nm]	Abweichung
-	$820,4 \pm 5,5$	-
$570,7 \pm 2,7$	573 ± 2	$0,68 \sigma$
$500,2 \pm 2,0$	503 ± 2	$0,71 \sigma$
$468,7 \pm 1,8$	471 ± 2	$0,98 \sigma$
$451,6 \pm 1,7$	nicht gefunden	-
$441,2 \pm 1,6$	439 ± 1	$1,16 \sigma$
$434,3 \pm 1,5$	432 ± 2	$0,89 \sigma$
$429,5 \pm 1,5$	nicht gefunden	-
$426,0 \pm 1,5$	425 ± 2	$0,39 \sigma$
$423,4 \pm 1,5$	421 ± 2	$0,96 \sigma$

Table 2: Natriumspektrum: 1. Nebenserie

berechnete Wellenlänge [nm]	gemessene Wellenlängen [nm]	Abweichung
1174,5	nicht messbar	-
$622,9 \pm 3,2$	621 ± 2	$2,4 \sigma$
$519,1 \pm 2,2$	520 ± 1	$0,35 \sigma$
$478,0 \pm 1,9$	472 ± 2	$2,2 \sigma$
$456,9 \pm 1,7$	459 ± 1	$1,04 \sigma$
$444,5 \pm 1,6$	444 ± 1	$0,27$

Table 3: Natriumspektrum: 2. Nebenserie

berechnete Wellenlänge [nm]	gemessene Wellenlängen [nm]	Abweichung
$332,8 \pm 0,9$	$336 \pm 3,1$	$0,4 \sigma$

Table 4: Natriumspektrum: Hauptserie

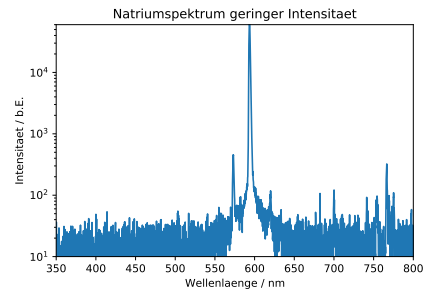


Figure 5: Gesamtes Natriumspektrum

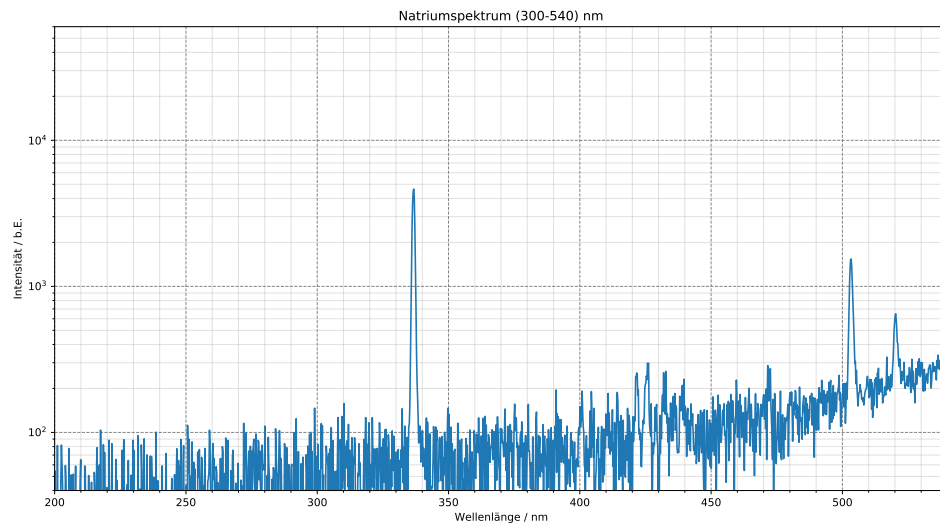


Figure 6: Natriumspektrum geringer Intensität (300-540)nm

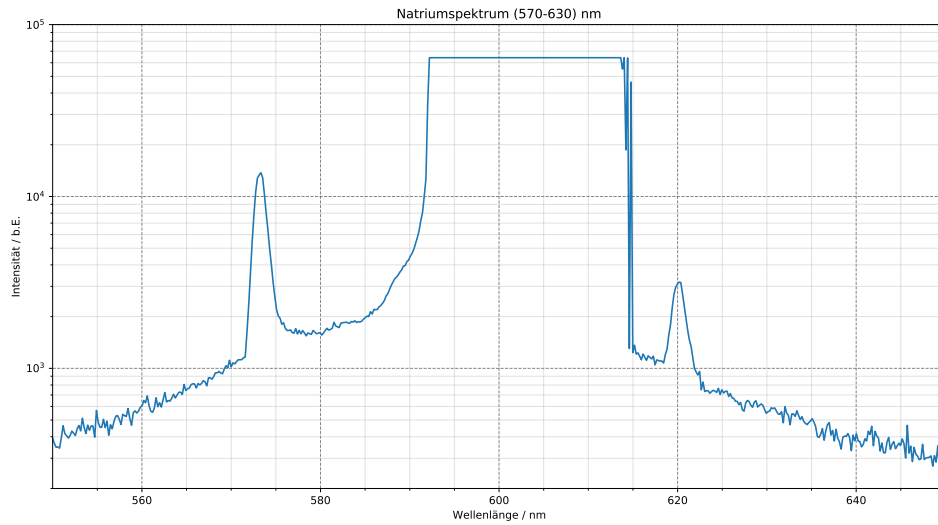


Figure 7: Natriumspektrum geringer Intensität (570-630)nm

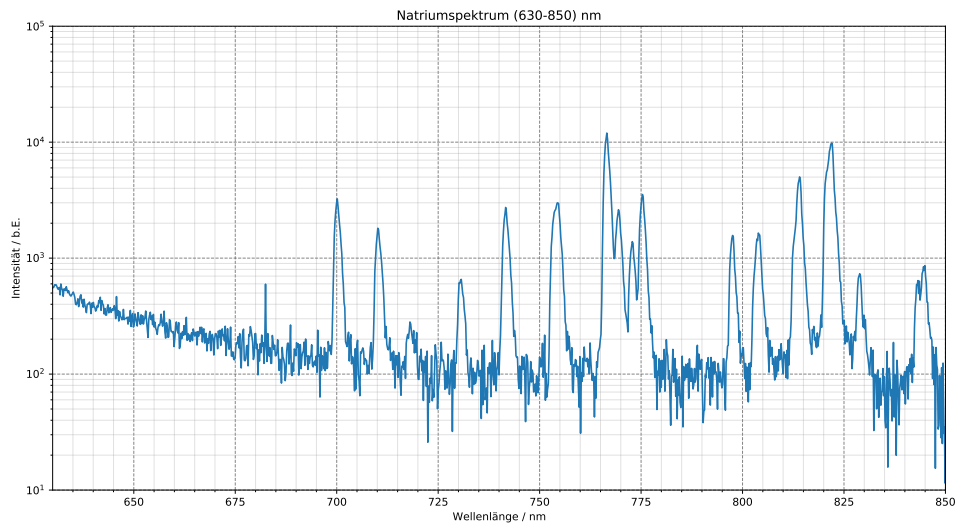


Figure 8: Natriumspektrum geringer Intensität (630-850)nm

Bestimmung der Serienenergien und der l-abhängigen Korrekturfaktoren

Wir bestimmen mit Python die Rydbergenergie E_{Ry} , E_{3p} und die Korrekturterme.

Die Wellenlängen der 1. Nebenserie werden über die Quantenzahl aufgetragen

und es wird ein Fit erstellt.

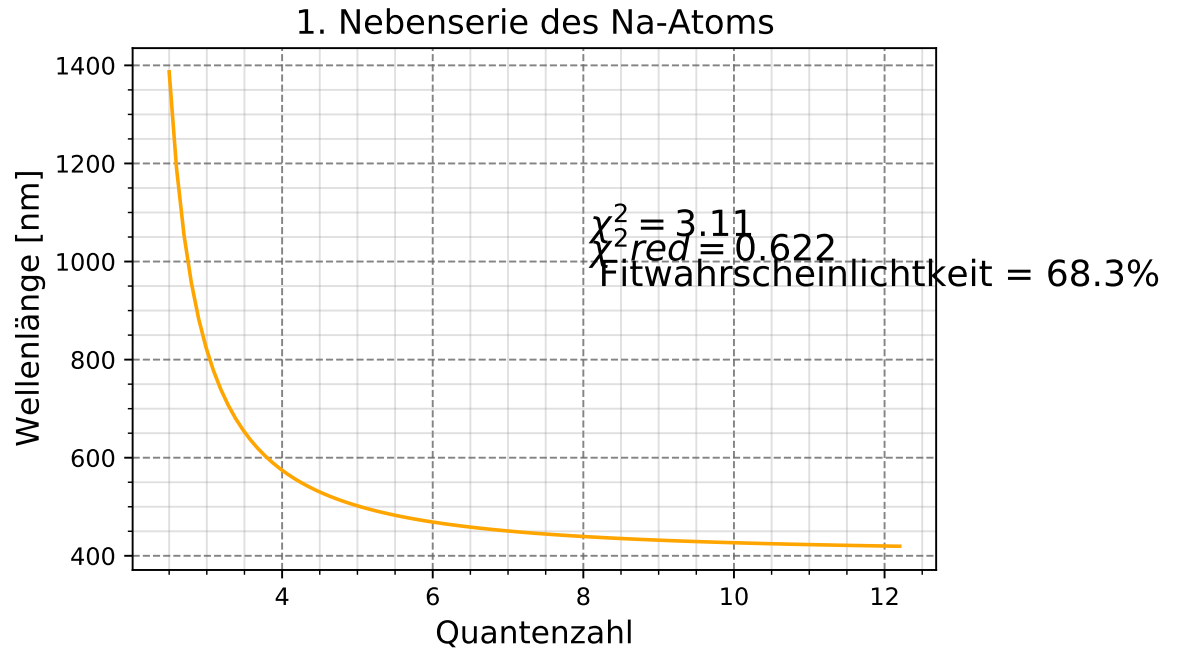


Figure 9: 1. Nebenserie des Na-Atoms

Die bestimmten Werte sind:

- $E_{Ry} = (-16,12 \pm 0,68) \text{ eV}$
- $E_{3p} = (-3,06 \pm 0,008) \text{ eV}$
- $\Delta_{d,s} = (-0,2281 \pm 0,064)$
- $\chi^2 = 0,3,11$
- $\chi^2_{red} = 0,622$
- Fitwahrscheinlichkeit 68,3%

Analog bei der 2. Nebenserie:

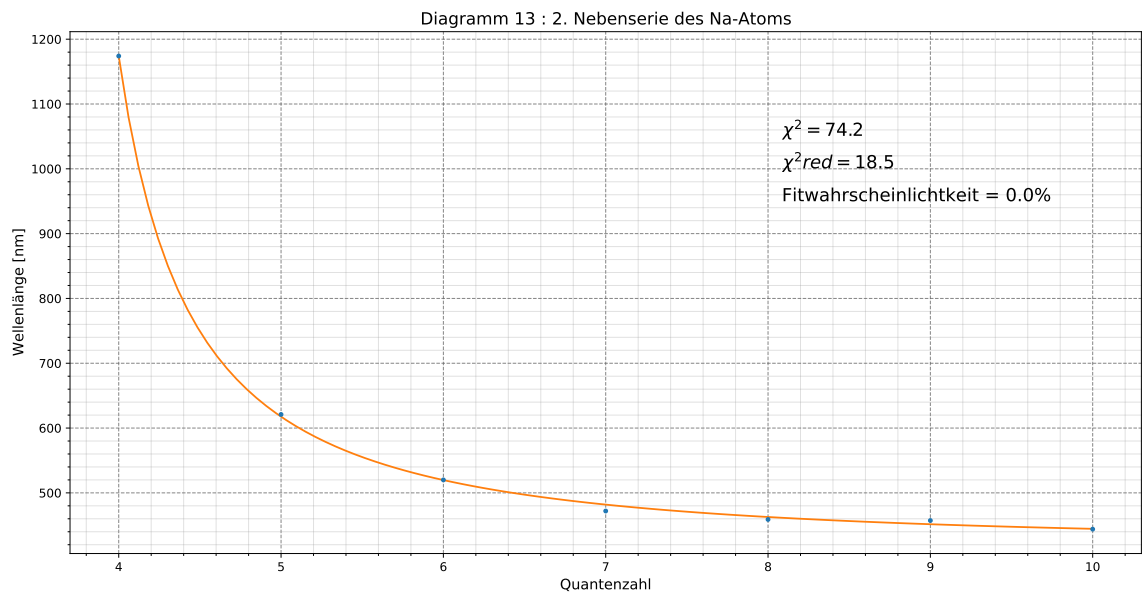


Figure 10: 2. Nebenserie des Na-Atoms

Die bestimmten Werte sind:

- $E_{Ry} = (-10,6 \pm 0,1) \text{ eV}$
- $E_{3p} = (-2,941 \pm 0,0029) \text{ eV}$
- $\Delta_{d,s} = 1,6$
- $\chi^2 = 74,15$
- $\chi^2_{red} = 18,54$
- Fitwahrscheinlichkeit 0,0%

3 Diskussion

In diesem Versuch haben wir unterschiedlichen Lichtquellen analysiert und untersucht.

Beim Sonnenspektrum bzw. Himmelsspektrum konnten wir die Fraunhoferlinien klar erkennen. Interessant war der Unterschied zwischen den diskreten und den kontinuierlichen Lichtquellen, obwohl wir im Spektrum eine noch diskretere Verteilung bei den Nicht-Temperaturstrahlern erwartet haben, jedoch kann dies zumindest teilweise durch Umgebungslicht erklärt werden. Nur der grüne Laser wies eine wirklich diskrete Verteilung auf.

Bei der Analyse des Sonnenspektrums war auffällig, dass das Glas eine sehr hohe Absorptionsrate von kurzen Wellenlängen. Dies kann zum Einen an der durchaus starken Verschmutzung der Scheibe liegen, jedoch ist es auch möglich, dass das Material gewollt Licht absorbiert, um dieser Tatsache auf den Grund zu gehen müsste man mehr Informationen über das verwendete Material haben. Die Erkennung der Fraunhoferlinie und der Balmerreihe war adäquat möglich mit Abweichungen bis zu $4,3 \sigma$

Wir konnten mehrere Linien nicht zuordnen, da sie entweder nicht erkennbar waren oder nicht in unserem Messspektrum lagen. Die restlichen Messungen ergaben jedoch sehr gute Ergebnisse mit einer maximalen Abweichung zum theoretischen Wert von $1,5\sigma$, wobei 12 der 13 Messungen unter 1σ liegen. Allerdings muss gesagt werden, dass es teilweise schwer war, die Linien richtig zuzuordnen wenn sie nahe beieinander liegen oder stark abweichen vom erwarteten Wert. Es ist des Weiteren nicht ausgeschlossen, dass noch andere Absorptionsbanden unsere Messungen verfälschen, bzw. es ist nicht immer eindeutig, ob die Bande den Serien abgehört.

Im letzten Teil berechneten wir die Güte unserer Fits, welche mit 68,3% für die 1. Nebenserie, nah an den angestrebten 50% liegen. Für die zweite Nebenserie war die Fitwahrscheinlichkeit hingegen 0,0%. Das liegt vermutlich an den sämtlichen Vereinfachungen die wir rechenrisch vorgenommen haben, wie bspw. die Unabhängigkeit des Korrekturterms Δ_d von der Hauptquantenzahl n . Außerdem mussten wir ein paar theoretische Werte in unser Diagramm inkludieren, um die nicht gefundenen Linien zu kompensieren. Um hier ein besseres Ergebnis erzielen zu können, müsste man die Messungen in einem abgedunkelten Raum und einem hochauflösenden Sensor machen, sowie die Anzahl der Versuchsdurchläufe erhöhen.

Alles in allem sind wir jedoch sehr zufrieden mit unseren Ergebnissen, die diese zumeist mit unseren Erwartungen übereinstimmen.

4 Anhang

Auf den folgenden Seiten ist das Jupyter Notebook, welches für die Datenberechnung und die Plots benutzt wurde, als PDF.

Messprotokoll 234

Unterschrift Tutor: gez von tutor:nikolai bolik

Aufgabe 1

In [1]:

```
1 %matplotlib inline
2 import numpy as np
3 import math
4 import matplotlib.pyplot as plt
5 from scipy.optimize import curve_fit
6 from scipy.optimize import curve_fit
7 from scipy.stats import chi2
8 plt.xkcd()
9 plt.rcParamsdefaults()
10
11 def comma_to_float(valstr):
12     return float(valstr.decode("utf-8").replace(',', '.'))
```

In [2]:

```
1 #hallogen Lampe gabs nicht
```

In [3]:

```
1 x_glüh, I_glüh = np.loadtxt('Glühlampe.txt',skiprows = 14,converters = {0:comma_to_float
2 x_energie, I_energie = np.loadtxt('Energiesparlampe.txt',skiprows = 14,converters = {0:comma_to_float
3
4 x_laser, I_laser = np.loadtxt('Laser.txt',skiprows = 14,converters = {0:comma_to_float,
5 x_LEDblau, I_LEDblau = np.loadtxt('LED Blaupeak.txt',skiprows = 14,converters = {0:comma_to_float,
6 x_LEDrot, I_LEDrot = np.loadtxt('LED sehr harter rotpeak.txt',skiprows = 14,converters = {0:comma_to_float,
7 x_LEDgrün, I_LEDgrün = np.loadtxt('LED mittelheftiger grünpeak.txt',skiprows = 14,converters = {0:comma_to_float,
```

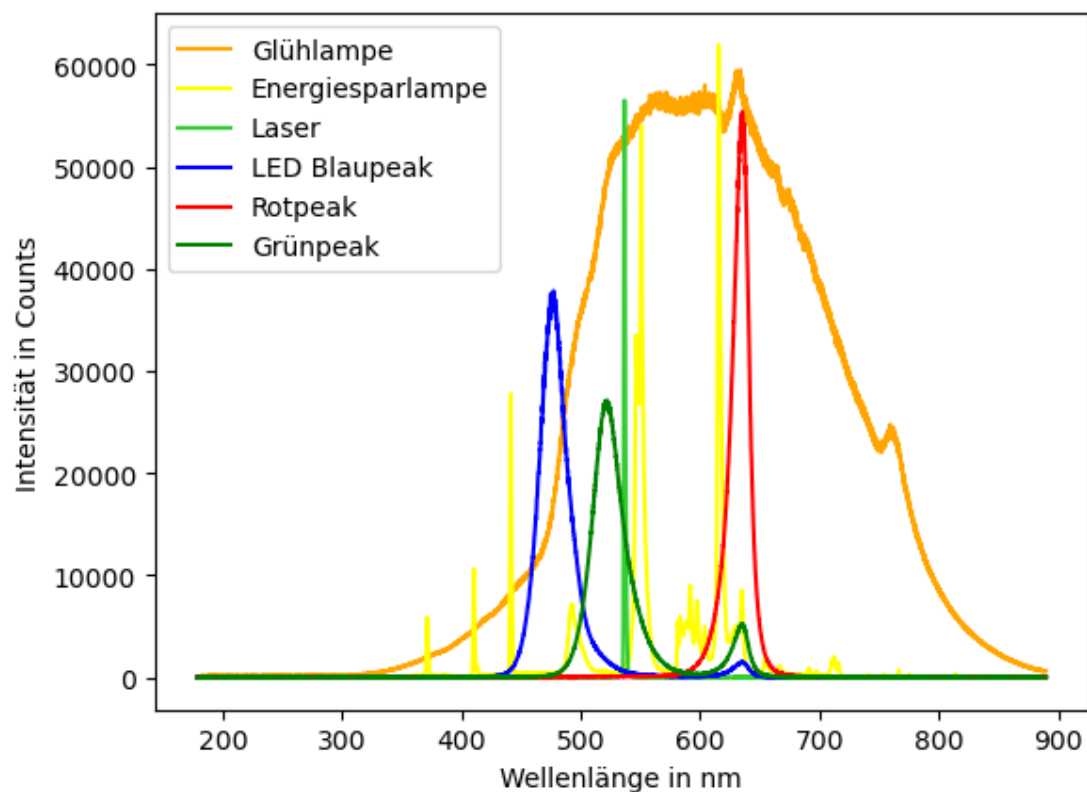
In [4]:



```

1 x_laser2 = x_laser +500
2
3 plt.plot(x_glüh, I_glüh, color = 'orange', label = 'Glühlampe')
4 plt.plot(x_glüh, I_energie, color = 'yellow', label = 'Energiesparlampe')
5 plt.plot(x_laser, I_laser, color = 'limegreen', label = 'Laser')
6 plt.plot(x_LEDblau, I_LEDblau, color = 'blue', label = 'LED Blauppeak' )
7 plt.plot(x_LEDrot, I_LEDrot, color = 'red', label = 'Rotpeak' )
8 plt.plot(x_LEDgrün, I_LEDgrün, color = 'green',label = 'Grünpeak' )
9 plt.legend()
10 plt.xlabel('Wellenlänge in nm')
11 plt.ylabel('Intensität in Counts')
12
13 plt.savefig('Lampen.pdf', format = 'pdf')

```



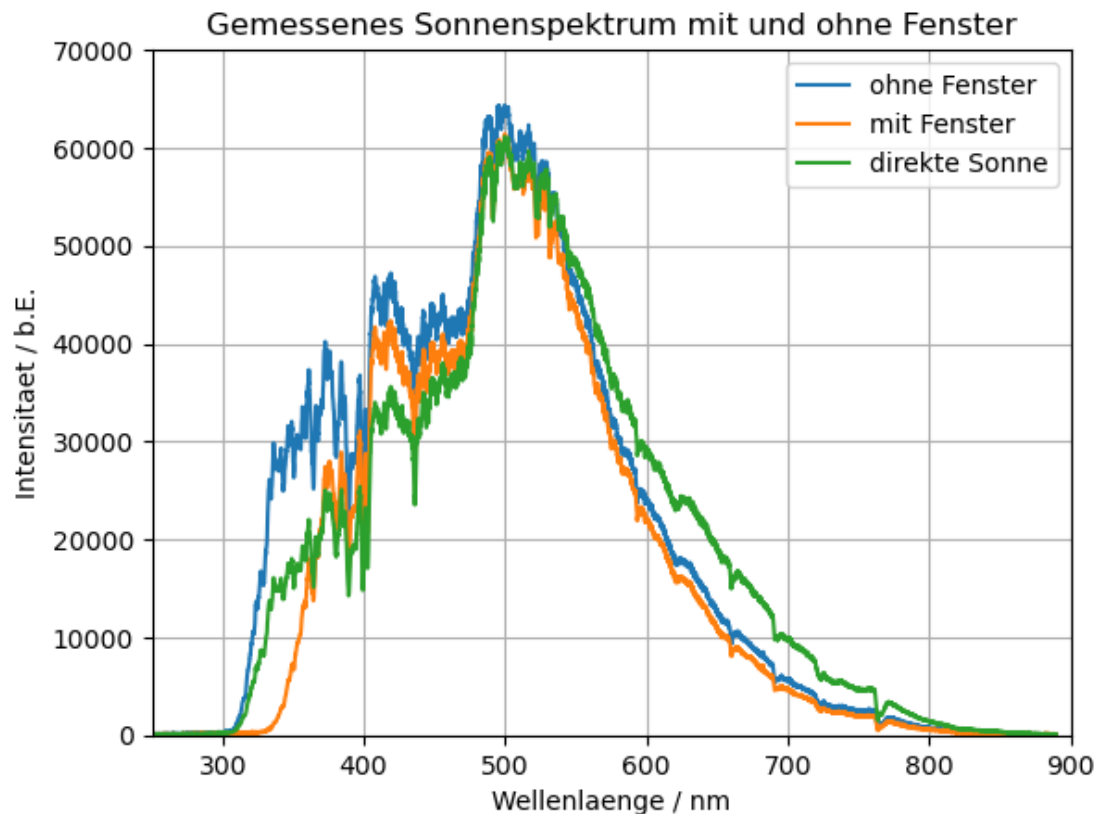
Sonnenspektrum

In [5]:

```

1  lamb_og, inten_og=np.loadtxt('Himmel.txt', skiprows=17, converters= {0:comma_to_float,
2  #jetzt himmel mit glas
3  lamb_mg, inten_mg=np.loadtxt('himmel hinterfenster gscheid.txt', skiprows=17, converter
4  lamb_sonne, inten_sonne=np.loadtxt('Sonne.txt', skiprows=17, converters= {0:comma_to_f
5
6
7  plt.plot(lamb_og, inten_og, label='ohne Fenster')
8  plt.plot(lamb_mg, inten_mg, label='mit Fenster')
9  plt.plot(lamb_sonne, inten_sonne, label='direkte Sonne')
10 plt.title('Gemessenes Sonnenspektrum mit und ohne Fenster')
11 plt.xlabel('Wellenlaenge / nm')
12 plt.ylabel('Intensitaet / b.E.')
13 plt.legend()
14 plt.grid()
15 plt.ylim((0,70000))
16 plt.xlim((250,900))
17 plt.savefig("Himmel_m_o_G_Sonne.pdf", format="pdf")
18

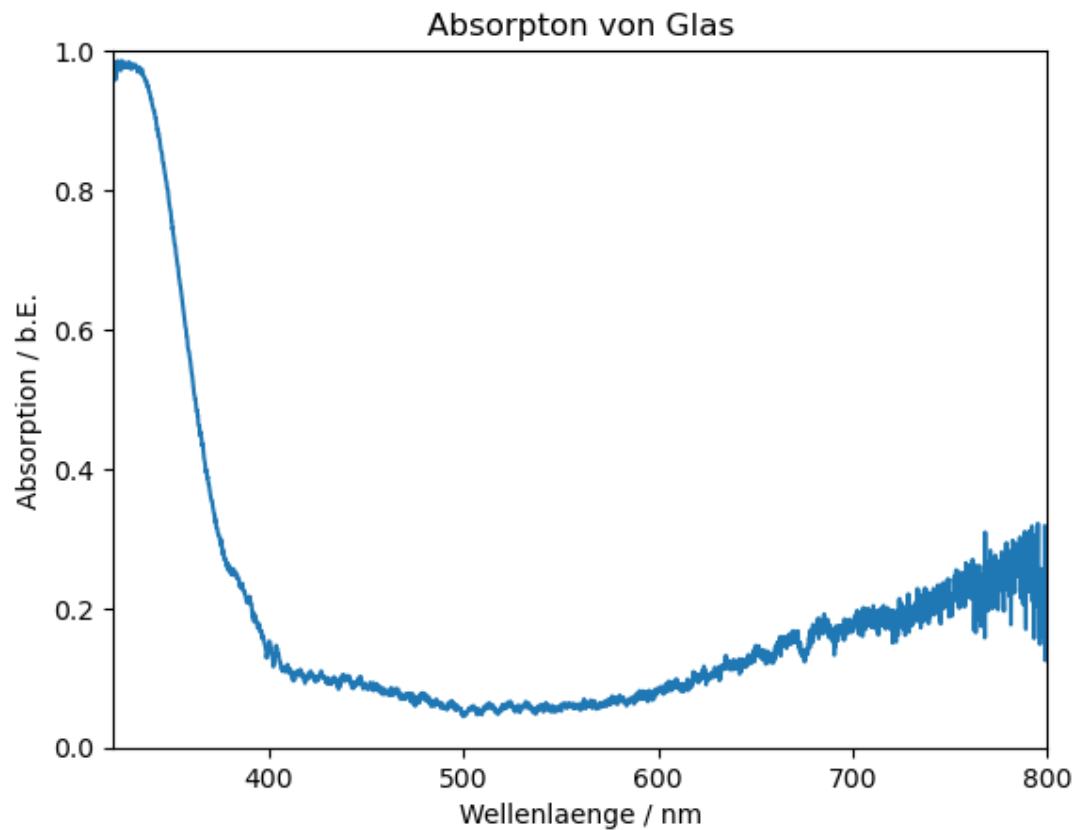
```



In [6]:



```
1
2 A=1-inten_mg/inten_og
3 plt.plot(lamb_mg, A)
4 plt.title('Absorpton von Glas')
5 plt.xlabel('Wellenlaenge / nm')
6 plt.ylabel('Absorption / b.E.')
7 plt.ylim((0,1))
8 plt.xlim((320,800))
9 plt.savefig("Absorption_Glas.pdf", format = 'pdf')
```



In [7]:



```
1
2 %matplotlib notebook
3 plt.plot(lamb_og, inten_og)
4 plt.axvline(660, color = 'black', label = 'Balmer alpha')
5 plt.axvline(488, color = 'black', label = 'Balmer beta')
6 plt.axvline(436, color = 'black', label = 'Balmer gamma')
7 plt.axvline(413, color = 'black', label = 'Balmer delta')
8 plt.title('Sonnenspektrum')
9 plt.xlabel('Wellenlaenge / nm')
10 plt.ylabel('Intensitaet / b.E.')
11 plt.ylim((0,70000))
12 plt.xlim((350,800))
13 plt.savefig("Fraunhofer.pdf", format="pdf")
```

<IPython.core.display.Javascript object>

Natriumlampen spektrum

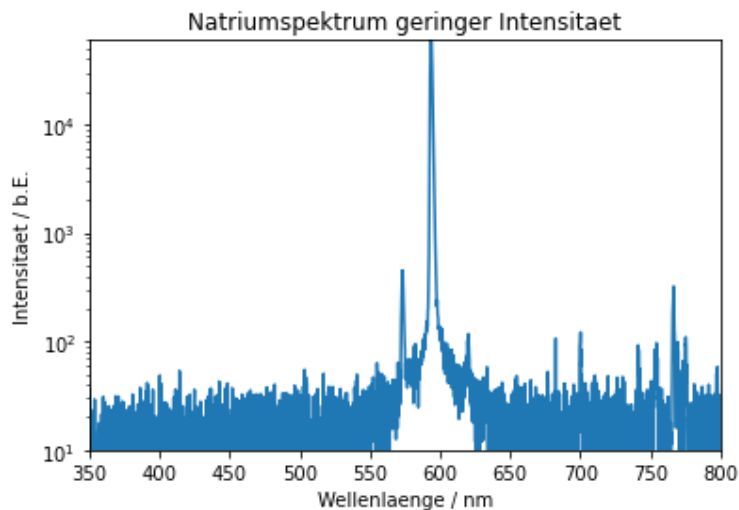
In [26]:



```

1 %matplotlib inline
2 #um die hauptlinie aufzulösen war keine hohe intensität nötig
3 lamb1, inten1 =np.loadtxt('Natrium Hauptlinie.txt', skiprows=17,
4 converters= {0:comma_to_float, 1:comma_to_float}, comments='>', unpack=True)
5 plt.plot(lamb1, inten1)
6 plt.title('Natriumspektrum geringer Intensitaet')
7 plt.xlabel('Wellenlaenge / nm')
8 plt.ylabel('Intensitaet / b.E.')
9 plt.yscale('log')
10 plt.ylim((10,60000)) #y achse ein bisschen verschoben
11 plt.xlim((350,800))
12 plt.savefig("Natrium Hauptlinie.pdf", format = "pdf")

```



hauptlinie 1 bei 593nm

hauptlinie 2 bei 573nm

fehler 2nm

In [9]:

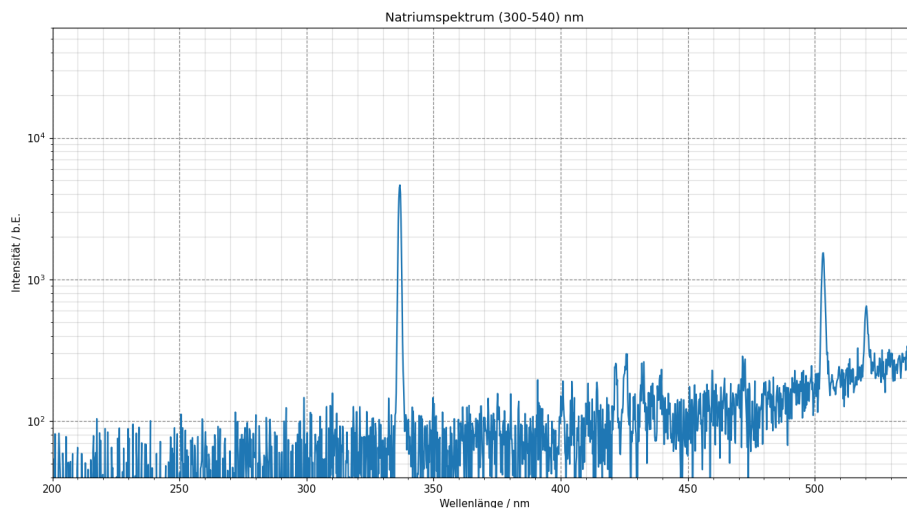


```

1 %matplotlib notebook
2 lamb2, inten2=np.loadtxt('natrium nebenlinien.txt', skiprows=17,
3 converters= {0:comma_to_float, 1:comma_to_float},
4 comments='>', unpack=True)
5 plt.figure(figsize=(15,8))
6 plt.plot(lamb2, inten2)
7 plt.title('Natriumspektrum (300-540) nm')
8 plt.xlabel('Wellenlänge / nm')
9 plt.ylabel('Intensität / b.E.')
10 plt.yscale('log')
11 plt.grid(b=True, which='major', color='#666666', linestyle='--', alpha=0.8)
12 plt.minorticks_on()
13 plt.grid(b=True, which='minor', color='#999999', linestyle='-', alpha=0.3)
14 plt.ylim((40,60000))
15 plt.xlim((200,540))
16 plt.savefig("Nat2.pdf", format="pdf", bbox_inches='tight')

```

<IPython.core.display.Javascript object>



Die Linien die ich hier rauslesen sind: in nm: pm 1 nm 520 \pm 2 503 \pm 3 472 471

414 410 404 400 390 383 380 375 371

439 432 425 \pm 2 421 \pm 2 349

Hauptserie 1: 336! andere nicht drauf hm nicht gefunden

In [11]:



```
1 #kommt da noch was dazwischen?=  
2 lamb3, inten3=np.loadtxt('natrium nebenlinien.txt', skiprows=17,  
3 converters= {0:comma_to_float, 1:comma_to_float},  
4 comments='>', unpack=True)  
5 plt.figure(figsize=(15,8))  
6 plt.plot(lamb3, inten3)  
7 plt.title('Natriumspektrum (570-630) nm')  
8 plt.xlabel('Wellenlänge / nm')  
9 plt.ylabel('Intensität / b.E.')  
10 plt.yscale('log')  
11 plt.grid(b=True, which='major', color='#666666', linestyle='--', alpha=0.8)  
12 plt.minorticks_on()  
13 plt.grid(b=True, which='minor', color='#999999', linestyle='-', alpha=0.3)  
14 plt.ylim((2*10**2,10**5))  
15 plt.xlim((550,650))  
16 plt.savefig("Nat3.pdf", format="pdf", bbox_inches='tight')
```

<IPython.core.display.Javascript object>

621 \pm 2
573 \pm 2
eingetragen

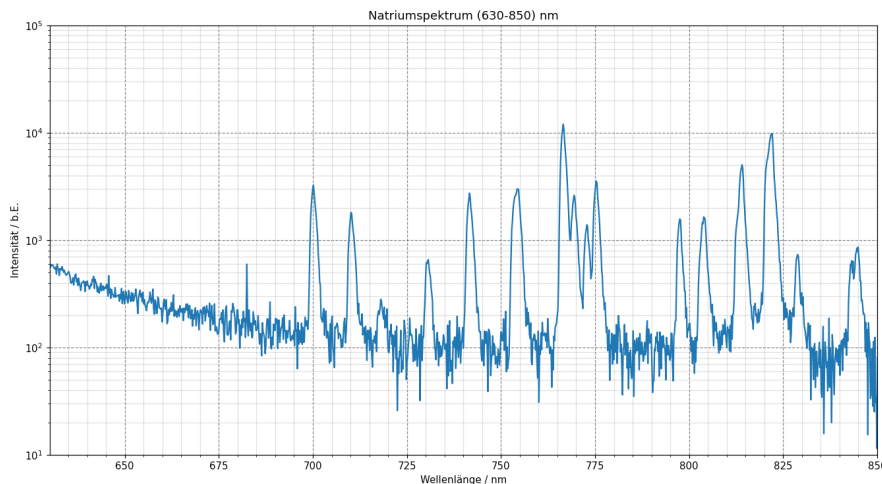
In [13]:

```

1 %matplotlib notebook
2 lamb4, inten4=np.loadtxt('natrium nebenlinien.txt', skiprows=17,
3 converters= {0:comma_to_float, 1:comma_to_float},
4 comments='>', unpack=True)
5 plt.figure(figsize=(15,8))
6 plt.plot(lamb4, inten4)
7 plt.title('Natriumspektrum (630-850) nm')
8 plt.xlabel('Wellenlänge / nm')
9 plt.ylabel('Intensität / b.E.')
10 plt.yscale('log')
11 plt.grid(b=True, which='major', color='#666666', linestyle='--', alpha=0.8)
12 plt.minorticks_on()
13 plt.grid(b=True, which='minor', color='#999999', linestyle='-', alpha=0.3)
14 plt.ylim((1*10,10*5))
15 plt.xlim((630,850))
16 plt.savefig("Nat4.pdf", format="pdf", bbox_inches='tight')

```

<IPython.core.display.Javascript object>



gefundene zuordenbare linien in nm pm 1nm: 844

828

821 813 803 797 775 766 754 741 730 717 710 690 682

über 700 ist wahrschl krypton

521 503 472 471 439 432 425 421 414 410 404 400 390 383 380 375 371 349

Theoretische Berechnungen:

In [14]:



```

1 hc = 1.2398e3 # nm eV
2 lam_31 = 820.4
3 del_lam_31 = 5.5
4 m_lam_31 = 3 #Ordnung
5 E_Ry_31 = -13.605 #eV
6 E_3p_31 = E_Ry_31/(m_lam_31**2)-hc/lam_31
7 del_E_3p_31 = hc/(lam_31**2)*del_lam_31
8 m_31 = np.arange(3,13,1) #Ordnung der Linie der ersten Nebenserie
9 lam_ex_31 = hc/(E_Ry_31/m_31**2-E_3p_31) #nm
10 del_lam_ex_31 = hc/(E_Ry_31/m_31**2-E_3p_31)**2*del_E_3p_31

```

In [15]:



```

1 for i in range(len(m_31)):
2     print("m = ", m_31[i])
3     print("lam_ex_31 [nm]": ", np.round(lam_ex_31[i],1))
4     print("del_lam_ex_31 [nm] : ", np.round(del_lam_ex_31[i],1))
5
6

```

```

m = 3
lam_ex_31 [nm]]: 820.4
del_lam_ex_31 [nm] : 5.5
m = 4
lam_ex_31 [nm]]: 570.7
del_lam_ex_31 [nm] : 2.7
m = 5
lam_ex_31 [nm]]: 500.2
del_lam_ex_31 [nm] : 2.0
m = 6
lam_ex_31 [nm]]: 468.7
del_lam_ex_31 [nm] : 1.8
m = 7
lam_ex_31 [nm]]: 451.6
del_lam_ex_31 [nm] : 1.7
m = 8
lam_ex_31 [nm]]: 441.2
del_lam_ex_31 [nm] : 1.6
m = 9
lam_ex_31 [nm]]: 434.3
del_lam_ex_31 [nm] : 1.5
m = 10
lam_ex_31 [nm]]: 429.5
del_lam_ex_31 [nm] : 1.5
m = 11
lam_ex_31 [nm]]: 426.0
del_lam_ex_31 [nm] : 1.5
m = 12
lam_ex_31 [nm]]: 423.4
del_lam_ex_31 [nm] : 1.5

```

In [16]:

```

1  #Berechnung von E_3s anhand der Linie bei 589nm:
2  lam_32 = 590.6
3  del_lam_32 = 3.0
4  E_3s_32 = E_3p_31 - hc/lam_32 #eV
5  del_E_3s_32 = np.sqrt((del_E_3p_31)**2+(1239.8*del_lam_32/(lam_32**2))**2)
6  print("E_3s_32 = ", np.round(E_3s_32,3), '+/- ', np.round(del_E_3s_32,3), "eV")

```

E_3s_32 = -5.122 +/- 0.015 eV

In [17]:

```

1  #Berechnen des Korrekturfaktors:
2  delta_s = 3 - np.sqrt(E_Ry_31/E_3s_32) #eV
3  del_delta_s = 0.5*13.605*del_E_3s_32/(((E_3s_32)**2)*np.sqrt(E_Ry_31/E_3s_32))
4  print("delta_s = ", np.round(delta_s,3), "+/- ", np.round(del_delta_s,3))

```

delta_s = 1.37 +/- 0.002

In [18]:

```

1  #Berechnen der Wellenlängen der zweiten Nebenserie:
2  m_32 = np.arange(4, 10, 1) #Ordnungen der zweiten Nebenserie
3  lam_ex_32 = hc/(E_Ry_31/(m_32-delta_s)**2 - E_3p_31) #nm
4  temp1 = hc/(E_Ry_31/(m_32-delta_s)**2-E_3p_31)**2*del_E_3p_31
5  temp2 = (hc/(E_Ry_31/(m_32-(delta_s+del_delta_s))**2-E_3p_31))-(hc/(E_Ry_31/(m_32-delta_s)**2-E_3p_31))
6  del_lam_ex_32 = np.sqrt(temp1**2 + temp2**2)
7  for i in range(len(m_32)):
8      print("m = ", m_32[i])
9      print("lam_ex_32 [nm]: ", np.round(lam_ex_32[i],1))
10     print("del_lam_ex_32 [nm]: ", np.round(del_lam_ex_32[i],1))

```

```

m = 4
lam_ex_32 [nm]: 1174.5
del_lam_ex_32 [nm]: 11.9
m = 5
lam_ex_32 [nm]: 622.9
del_lam_ex_32 [nm]: 3.2
m = 6
lam_ex_32 [nm]: 519.1
del_lam_ex_32 [nm]: 2.2
m = 7
lam_ex_32 [nm]: 478.0
del_lam_ex_32 [nm]: 1.9
m = 8
lam_ex_32 [nm]: 456.9
del_lam_ex_32 [nm]: 1.7
m = 9
lam_ex_32 [nm]: 444.5
del_lam_ex_32 [nm]: 1.6

```

hauptserie

In [29]:

```

1 #Berechnung des Korrekturfaktors delta_p aus E_3p:
2 delta_p = 3 - np.sqrt(E_Ry_31/E_3p_31)
3 del_delta_p = -np.sqrt(E_Ry_31/E_3p_31)/(2*E_3p_31)*del_E_3p_31
4 print("delta_p = ", np.round(delta_p,3), "+/-", np.round(del_delta_p,3))

```

delta_p = 0.879 +/- 0.004

In [30]:

```

1 #Berechnen der Wellenlängen der Hauptserie:
2 m_33 = np.arange(4, 6, 1)
3 lam_ex_33 = hc/(E_Ry_31/(m_33-delta_p)**2-E_3s_32)
4 temp1 = hc/(E_Ry_31/(m_33-delta_p)**2-E_3s_32)**2*del_E_3p_31
5 temp2 = hc/(E_Ry_31/(m_33-(delta_p+del_delta_p))**2-E_3s_32)-hc/(E_Ry_31/
6 (m_33-delta_p)**2-E_3s_32)
7 del_lam_ex_33 = np.sqrt(temp1**2 + temp2**2)
8 for i in range(len(m_33)):
9     print("m = ", m_33[i])
10    print("lam_ex_33 = ", np.round(lam_ex_33[i],1))
11    print("del_lam_ex_33 = ", np.round(del_lam_ex_33[i],1))

```

```

m = 4
lam_ex_33 = 332.8
del_lam_ex_33 = 0.9
m = 5
lam_ex_33 = 286.9
del_lam_ex_33 = 0.7

```

In [31]:

```

1 wellen2 = np.array([820.4, 573, 503, 471,0, 439, 432,0, 425, 421])
2 del_wellen2 = np.array([5.5, 2, 2, 2, 0, 1, 2,0, 2, 2])
3 sigma = (lam_ex_31-wellen2)/np.sqrt(del_lam_ex_31**2 + del_wellen2**2)
4 print(lam_ex_31)
5 print(del_lam_ex_31)
6 print(sigma)
7
8 #nuller wurden für nicht fundene hinzugefügt!

```

```

[820.4          570.66102463 500.18543966 468.73983175 451.6201056
 441.1624596  434.26820331 429.46751131 425.98330604 423.37090124]
[5.5          2.66114053 2.0444358  1.7954574  1.66670187 1.59040776
 1.54108804 1.50720393 1.48284769 1.4647159 ]
[ 1.46161334e-14 -7.02624133e-01 -9.84104926e-01 -8.40933982e-01
 2.70966340e+02  1.15105946e+00  8.98345732e-01  2.84943201e+02
 3.94942242e-01  9.56397968e-01]

```

In [32]:

```

1 wellen3 = np.array([0, 632, 520, 472, 459, 444])
2 delwellen3 = np.array([0, 2,1,2,1,1])
3
4 sigma2 = (lam_ex_32-wellen3)/np.sqrt(del_lam_ex_32**2 + delwellen3**2)
5 print(sigma2)

```

```
[98.42985549 -2.40335413 -0.35341081  2.19899418 -1.04870874  0.26577004]
```

Bestimmung der Serienenergien und der l-abhängigen Korrekturfaktoren

In [36]:

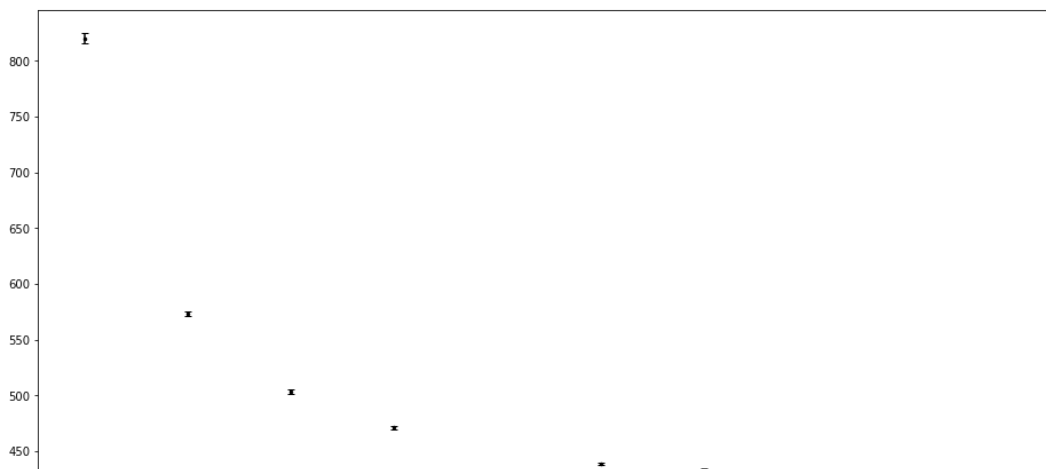
```

1 wellen1 = np.array([820.4, 573, 503, 471, 439, 432, 425, 421])
2 del_wellen1 = np.array([5, 2, 2, 2, 1, 2, 2, 2])
3 quantenz = np.array([3,4,5,6,8,9,10,12])
4
5
6
7 #die gemessenen Werte werden geplottet und eine Funktion gefittet:
8 def fit_func(m,E_ry,E_3p,D_d):
9     return 1.2398E3/(E_ry/(m-D_d)**2-E_3p)
10 para = [-13.6,-3,-0.02]
11 popt, pcov = curve_fit(fit_func, quantenz, wellen1, sigma=del_wellen1 ,p0=para)
12
13 #Berechnen der Güte des Fits:
14 chi1=np.sum((fit_func(quantenz,*popt)-wellen1)**2/del_wellen1**2)
15 dof=len(quantenz)-3 #dof:degrees of freedom, Freiheitsgrad
16 chi1_red=chi1/dof
17 prob1=round(1-chi2.cdf(chi1,dof),3)*100
18
19 plt.figure(figsize=(16,8))
20
21 plt.errorbar(quantenz, wellen1, yerr = del_wellen1, fmt=".", markersize = 5, capsize =

```

Out[36]:

<ErrorbarContainer object of 3 artists>

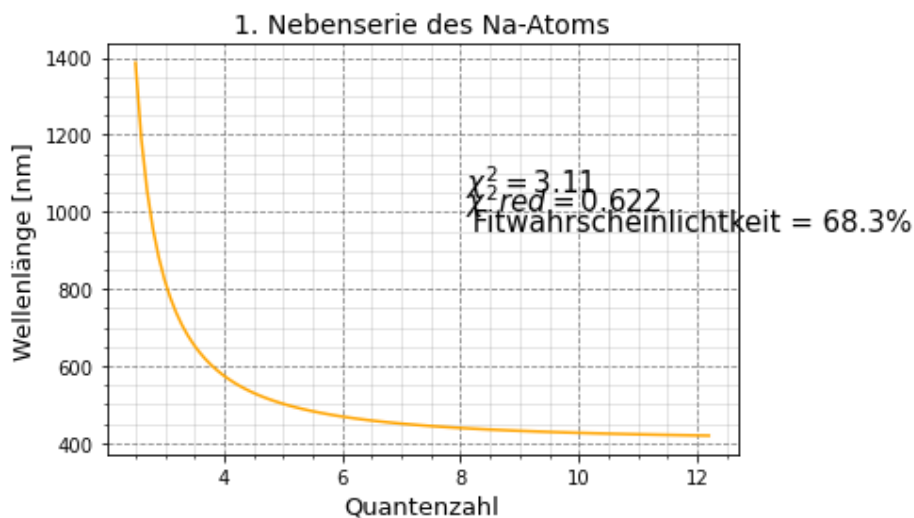


In [34]:

```

1 plt.xlabel('Quantenzahl',fontsize=13)
2 plt.ylabel('Wellenlänge [nm]',fontsize=13)
3 plt.title('1. Nebenserie des Na-Atoms',fontsize=14)
4 x = np.linspace(2.5, 12.2, 100)
5 plt.plot(x, fit_func(x, *popt), color = "orange")
6 plt.grid(b=True, which='major', color='#666666', linestyle='--', alpha=0.8)
7 plt.minorticks_on()
8 plt.grid(b=True, which='minor', color='#999999', linestyle='-', alpha=0.3)
9 plt.text(8.09, 1050, f'$\chi^2 = \{chi1:.03\}$', size = 15)
10 plt.text(8.09, 1000, f'$\chi^2_{red} = \{chi1_{red}:.03\}$', size = 15)
11 plt.text(8.05, 950, f'Fitwahrscheinlichkeit = \{prob1:.03\}\%', size = 15)
12 plt.savefig("chi.pdf", format='PDF', bbox_inches='tight')

```



In [35]:

```

1 #Ausgabe der Parameter der Fitkurve:
2 print("E_Ry [eV]:", np.round(popt[0],2), ", Standardfehler =", np.round(np.sqrt(pcov[0][0]),2))
3 print("E_3p [eV]:", np.round(popt[1],3), ", Standardfehler =", np.round(np.sqrt(pcov[1][1]),3))
4 print("D_d =", np.round(popt[2],4), ", Standardfehler =", np.round(np.sqrt(pcov[2][2]),3))

```

E_Ry [eV]: -16.12 , Standardfehler = 0.68
 E_3p [eV]: -3.06 , Standardfehler = 0.008
 D_d = -0.2281 , Standardfehler = 0.064

In [61]:



```
1 print("chi1 =", np.round(chi1_,4))
2 print("chi1_red =", np.round(chi1_red,4))
3 print("Fitwahrscheinlichkeit:", prob1, "%")
4
5
6
```

```
chi1 = 3.1105
chi1_red = 0.6221
Fitwahrscheinlichkeit: 68.30000000000001 %
```

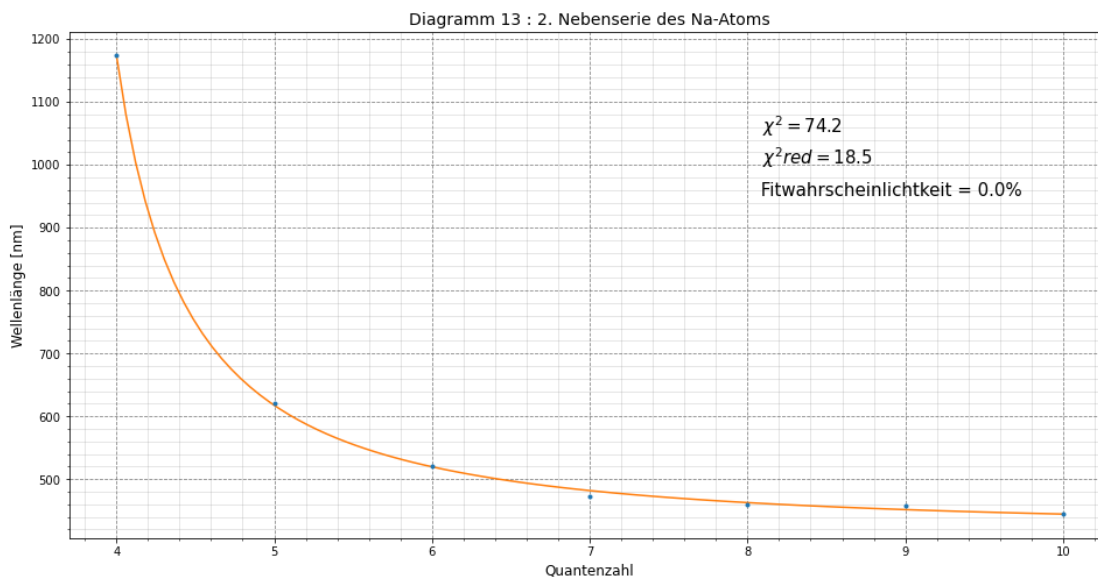
In [62]:



```

1 #analog zu oben:
2 wellen2 = np.array([ 1174, 621, 520, 472, 459, 457.3, 444])
3 del_wellen2 = np.array([1, 2.0, 1, 2, 1,1, 1])
4 quantenz2 = np.arange(4, 11)
5 def fit_func2(m,E_ry2,E_3p2,delta_s):
6     return 1.2398E3/(E_ry2/(m-delta_s)**2-E_3p2)
7 para = [-13.6 , -3, -0.02]
8 popt2, pcov2 = curve_fit(fit_func2, quantenz2, wellen2, sigma=del_wellen2,p0=para)
9 #Berechnen der Güte des Fits:
10 chi2_=np.sum((fit_func2(quantenz2,*popt2)-wellen2)**2/del_wellen2**2)
11 dof=len(quantenz2)-3 #dof:degrees of freedom, Freiheitsgrad
12 chi2_red=chi2_/dof
13 prob2=round(1-chi2.cdf(chi2_,dof),2)*100
14
15 plt.figure(figsize=(16,8))
16 plt.errorbar(quantenz2, wellen2, del_wellen2, fmt=".")
17 plt.xlabel('Quantenzahl',fontsize=12)
18 plt.ylabel('Wellenlänge [nm]',fontsize=12)
19 plt.title('Diagramm 13 : 2. Nebenserie des Na-Atoms',fontsize=14)
20 x2 = np.linspace(4, 10, 100)
21 plt.plot(x2, fit_func2(x2, *popt2))
22 plt.grid(b=True, which='major', color='#666666', linestyle='--', alpha=0.8)
23 plt.minorticks_on()
24 plt.grid(b=True, which='minor', color='#999999', linestyle='-', alpha=0.3)
25 plt.text(8.09, 1050, f'$\chi^2 = \{chi2_:.03\}$', size = 15)
26 plt.text(8.09, 1000, f'$\chi^2_{red} = \{chi2_red:.03\}$', size = 15)
27 plt.text(8.05, 950, f'Fitwahrscheinlichkeit = \{prob2:.03\}\%', size = 15)
28 plt.savefig("chi1.pdf", format='PDF', bbox_inches='tight')

```



In [63]:



```
1 print("E_Ry2 [eV]:",np.round(popt2[0],1), ", Standardfehler=", np.round(np.sqrt(pcov2[0][0]),1))
2 print("E_3p2 [eV]:",np.round(popt2[1],3), ", Standardfehler=", np.round(np.sqrt(pcov2[1][1]),3))
3 print("delta_s=",np.round(popt2[2],1), ", Standardfehler=", np.round(np.sqrt(pcov2[2][2]),1))
```

E_Ry2 [eV]: -10.6 , Standardfehler= 1.3
E_3p2 [eV]: -2.941 , Standardfehler= 0.029
delta_s= 1.6 , Standardfehler= 0.1

In [64]:



```
1 print("chi2=", np.round(chi2_,2))
2 print("chi2_red=",np.round(chi2_red,2))
```

chi2= 74.15
chi2_red= 18.54

In []:



```
1
```